

تأثیر فرایندهای دیاژنزی بر کیفیت مخزنی سازند فهلیان (کرتاسه پیشین) در میدان نفتی ارونده، دشت آبادان

عباس ده‌کار^۱، ولی‌احمد سجادیان^{۲*}، محمد رضا نورآ^۳، کاظم شعبانی گورجی^۴ و عباسعلی امرایی^۵

۱- دانشجوی دکترا، گروه زمین‌شناسی، دانشکده علوم، دانشگاه آزاد اسلامی، واحد زاهدان

۲ و ۵- بخش مطالعات زمین‌شناسی، شرکت نفت و گاز ارونдан، اهواز

۳ و ۴- استادیار گروه زمین‌شناسی، دانشکده علوم، دانشگاه آزاد اسلامی، واحد زاهدان

نویسنده مسئول: vas1382@yahoo.com

نوع مقاله: پژوهشی

دریافت: ۹۹/۱/۱۶ پذیرش: ۹۹/۶/۳۱

چکیده

هدف از این تحقیق، بررسی فرایندهای دیاژنسی و تأثیر آن بر کیفیت مخزنی سازند کربناته فهلیان، به سن کرتاسه پیشین در برش زیرسطحی چاه ۱ و ۲ میدان نفتی ارونده واقع در دشت آبادان است که بر پایه مطالعات پتروگرافی و پتروفیزیکی انجام گرفته است و این مطالعه شامل ۲۲۹ برش نازک سنگی و هم‌چنین نگاره‌های چاه‌پیمایی می‌باشد. بررسی رویدادهای دیاژنسی نشان داد که انحلال و سیمان‌شدنگی، دولومیتی شدن و میکراتی شدن، انحلال فشاری و تراکم، رایج‌ترین فرایندهای دیاژنسی موثر بر سازند فهلیان در میدان ارونده هستند. از میان فرایندهای یاد شده، سیمان‌شدنگی و تراکم‌فیزیکی باعث از بین رفتن تخلخل و انحلال موجب افزایش آن شده است. استیلوولیتی شدن در پاره‌ای موارد به خاطر دولومیتی شدن و انحلال در امتداد آن باعث افزایش کیفیت مخزن و در پاره‌ای موارد به دلیل تمرکز بقایای ناشی از انحلال، باعث ایجاد سدهای تراوایی شده است. مطالعه برش نازک سنگی مطالعه شده نشان می‌دهد تخلخل‌ها از نوع قالبی، حفره‌ای بین‌دانه‌ای و شکستگی است. مطالعات پتروفیزیکی مخزن مورد مطالعه بیانگر رخساره کربناته به همراه میان لایه‌هایی از رخساره شیلی سازند فهلیان است. تخلخل سنگ بین ۳ تا ۸ درصد و حجم شیل کمتر از ۵ درصد بوده، درصد اشباع آب بین ۱۰ تا ۴۰ درصد و سیال موجود در مخزن آب به همراه نفت با درصد اشباع آب بالا می‌باشد. با توجه به مطالعه ریز رخساره‌ها، مدل رسوبی ارائه شده، رمپ کربناته است و به دلیل گسترش محدود فرایندهای دیاژنسی مؤثر در کیفیت مخزنی و حجم گل‌آهکی متأثر از محیط‌رسوبی، کیفیت مخزنی سازند فهلیان در میدان ارونده، متوسط ارزیابی می‌شود.

واژگان کلیدی: سازند فهلیان، دیاژنسی، میدان نفتی ارونده، کیفیت مخزنی، کرتاسه پیشین

خواص مخزنی این سازند بر اساس مطالعات پتروگرافی
مغزه‌ها پرداخته می‌شود.

۱- پیشگفتار

۲- تاریخچه موضوع و پیشینه پژوهش
مطالعات زیادی در دهه‌های اخیر در مورد سازند فهلیان و دشت آبادان در زمینه‌های زیست‌چینندگاری، سنگ‌شناسی رسوبی و رسوب‌شناسی، محیط‌رسوبی، چینه‌نگاری سکانسی، ژئوشیمی نفت، تکتونیک و ارزیابی پتروفیزیکی مخزن (برای مثال جیمز و وايند، ۱۹۶۵؛ گلستانه، ۱۹۶۵؛ خردپیر، ۱۹۷۵؛ لاسمی و فیضی، ۱۹۸۵؛ آدابی و همکاران، ۲۰۱۰؛ جمالیان و همکاران، ۲۰۱۱؛ کمالی و همکاران، ۲۰۱۳؛ اسفندیاری، ۱۳۹۲؛ آزادشهرکی، ۱۳۹۶؛ رحیم‌پوربناب و همکاران، ۱۳۹۷؛ فرامرزی و همکاران، ۱۳۹۷؛ شلالوند و همکاران، ۱۳۹۸؛

سازند فهلیان در بخش جنوب دشت آبادان، سنگ مخزن نفت و گاز و میدان نفتی ارونده، میدان تازه اکتشاف شده و از جمله میادین مشترک با کشور عراق می‌باشد، توسعه و برداشت بهینه و مدیریت صحیح از میدان، مستلزم این است که مطالعات پایه زمین‌شناسی با دقت انجام شود و فرایندهای دیاژنسی مورد بررسی قرار گرفته و سپس به نقش این فرایندها در کیفیت مخزنی پرداخته شود. دیاژنسی شامل فرایندهای فیزیکی، شیمیایی و بیولوژیکی هستند که هنگام و پس از رسوب‌گذاری موثر بوده و طی آن رسوبات اولیه با آبهای منفذی واکنش داده تا به یک تعادل پایداری برسند. هدف اصلی در این تحقیق، مطالعه تاثیر فرایندهای دیاژنسی بر کیفیت سنگ مخزن سازند فهلیان در این میدان نفتی می‌باشد و لذا به بررسی کیفی

سنگنگاری و با توجه به تعیین تقدم و تأخیر نسبی محصول‌های دیاژنر نسبت به یکدیگر، پاراژنر رودادهای دیاژنتیکی سازند فهليان در توالی مورد بررسی، مشخص شد. همچنان توسط نرم‌افزار ژئولوگ جنس سنگ مخزن و میزان تخلخل و تراوایی مخزن، مورد ارزیابی قرار گرفت و در نهایت بر اساس این مشاهدات، تأثیر این فرایندها بر کیفیت مخزنی در توالی مورد مطالعه، بررسی گردید.

۴- زمین‌شناسی منطقه مورد مطالعه

میدان نفتی ارونده، در ناحیه ارونده کنار در مجاورت و به موازات خط مرزی ایران و عراق و در فاصله ۴۹ کیلومتری جنوب شهر آبادان و در دهانه رود ارونده قرار گرفته است (شکل ۱). سازند فهليان و گروه خامی بالايی (شامل سازندهای فهليان، گدون و داريان) تقریباً ژرفترین مخازن نفتی جنوب‌باختری ایران و در عین حال کهن‌ترین سنگ‌های مخزنی دشت آبادان به شمار می‌آیند (محسنی و همکاران، ۱۳۹۲). گروه خامی در دشت آبادان به وسیله سازند کژدمی (اواخر آپتین پیشین تا آلبین میانی) از مخازن گروه بنگستان جدا شده و به دو قسم تقسیم می‌شود. ترکیب قسمت خامی زیرین شامل سازندهای هیث و سورمه، و خامی بالايی شامل سازند فهليان، گدون و داريان است (شکل ۲). بهطور کلی سنگ‌شناسی فهليان با سن نئوکومین از سنگ‌آهک، گدون با سن بارمین از شیل و سنگ‌آهک و داريان با سن آپتین از سنگ‌آهک می‌باشد. سنگ مخزن کرتاسه پایین در شرایط کم عمق دریابی بر جای گذاشته شده‌اند که سازندهای کربناتی فهليان و داريان حاصل آن است (نوري، ۲۰۱۹). تاقديس ارونده فاقد هر گونه رخنمون بوده و از برداشت‌های ژئوفيزیکی شناخته شده است. اين تاقديس دارای روند شمال‌باختري- جنوب‌خواری است. در اين پژوهش، سازند فهليان در میدان ارونده واقع در جنوب دشت آبادان مورد بررسی قرار گرفته است.

۵- بحث

۱-۵- ریزرسارهای مهیط‌رسوبی

مطالعه ریزرسارهای سازند فهليان در میدان نفتی ارونده و مقایسه آن با کمرندهای ریزرسارهای ویلسون (۱۹۷۵) و فلوگل (۲۰۱۰) آشکار می‌سازد که ریزرسارهای سازند فهليان در میدان مورد مطالعه، در

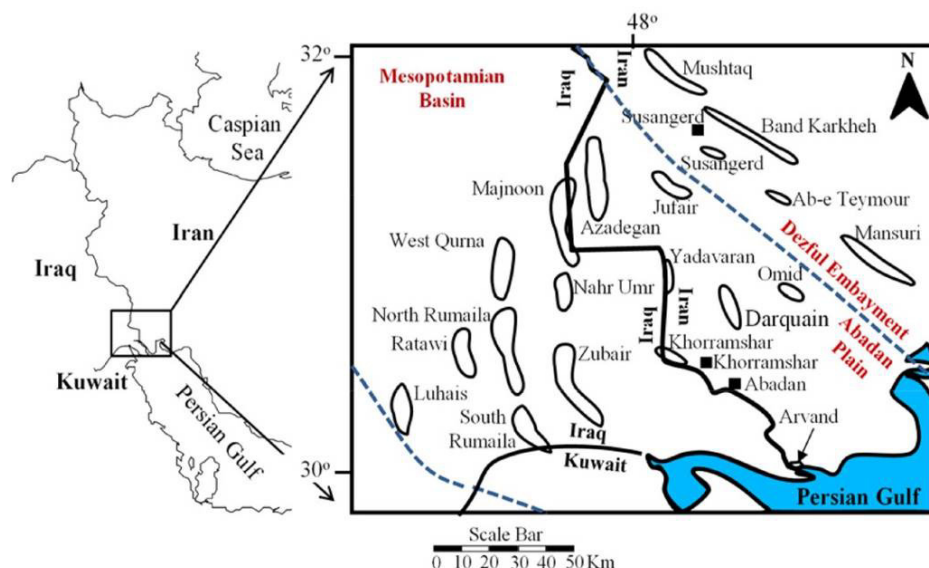
نوری و همکاران، ۲۰۱۹) انجام شده است. دیاژنر، طیف گسترهای از فرایندهای فیزیکی، شیمیایی و بیولوژیکی پس از رسوب‌گذاری را شامل می‌شود که در طی آن رسوبات اولیه با آب‌های بین‌منفذی در حوضه رسوبی واکنش داده تا به یک تعادل بافتی و ژئوشیمیایی پایداری از محیط دست یابند (اشمیت و همکاران، ۲۰۰۴). لاسمی (۱۳۸۵) رخسارهای پلاتفرمی تا دور از پلاتفرم سازند فهليان را در برش کوه فهليان و برش کوه اشگر (شمال باختر کوه فهليان) در جنوب‌باختر ايران مورد مطالعه قرار دادند. آن‌ها به این نتیجه رسیدند که تکاپوهای تکتونیکی سیستم گسله کازرون در سراغاز کرتاسه به پدید آمدن حوضه بین شلفی انجامیده است و محیط تنه‌شست سازند فهليان را پلاتفرم کربناته نوع شلف تشخیص دادند. رحیم‌پورنیاب (۱۳۹۷) در مطالعات توالي کربناته فهليان، فرایندهای دیاژنری شناسایی شده در سازند فهليان را انحلال، میکرایتی شدن، تراکم، دولومیتی شدن سیلیسی شدن، پیریتی شدن، سیمانی شدن و شکستگی شناسایی کردند که در طی مراحل مختلف دیاژنر دریابی، متئوریک و دفنی تشکیل شدند. با تمام مطالعاتی که روی سازند فهليان انجام شده است، هنوز هیچ مطالعه‌ای بر روی سنگ مخزن میدان ارونده از نظر پتروگرافی جهت بررسی‌های دیاژنری و بررسی کیفیت مخزن، صورن نگرفته است.

۳- روش کار

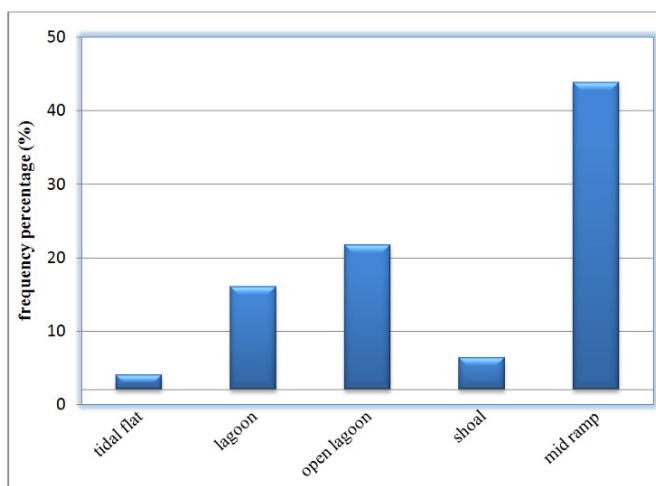
روش مطالعه مبتنی بر بررسی مطالعات پیشین و مطالعه ۲۲۹ برش‌نازک میکروسکوپی و ۱۳ نمونه جهت بررسی با میکروسکوپ الکترونی (SEM) مدل فیلیپس XL30 توسط شرکت رزلب کیش از معزه‌های حفاری چاه ارونده ۲ شده است، که منجر به شناسایی ریزرسارهای، محیط رسوبی و فرایندهای دیاژنری و تأثیر آن‌ها بر کیفیت مخزنی شده است. رخسارهای سازند فهليان در میدان مورد مطالعه و کمرندهای رخسارهای توسط طبقه‌بندی فلوگل (۲۰۱۰) و ویلسون (۱۹۷۵) نام‌گذاری شدند. به منظور تشخیص کانی کلسیت از دولومیت، نمونه‌ها با آلیزارین رنگ‌آمیزی شدند. در این مطالعه، انواع تخلخل با استفاده از طبقه‌بندی چوکت و پری (۱۹۷۰) نام‌گذاری و انواع فرآیندهای دیاژنری مورد بررسی قرار گرفت. پس از تعیین محیط دیاژنتیکی آن‌ها، بر پایه بررسی‌های

بیانگر زیرمحیط پهنه جزرومدی است (شکل ۳-A). ریزرسارهای زیرمحیط لagon شامل پکستون تا پکستون بایوکلست پلوییددار، وکستون تا پکستون پلوییدی، باندستون مرجانی، وکستون تا پکستون پلوییدی، وکستون بایوکلست میلیولیدی، مادستون بایوکلستون می‌باشدند (شکل ۳-B و C).

چهار زیرمحیط پهنه جزر و مدی، لagon، سد و دریای باز نهشته شده‌اند (نمودار ۱) و سازند فهیان در میدان ارونده در یک محیط رمپ کربناته نهشته شده است. گروه ریزرسارهای پهنه جزرومدی شامل ریزرساره گرینستون پلوییدی و اینتراکلستی، مادستون، دولومادستون و مادستون می‌باشد که نبود بایوکلست وجود اینتراکلست‌های گردشده و پلوییدهای میکرایتی



شکل ۱. نقشه موقعیت جغرافیایی میدان ارونده نسبت به میدان‌های دیگر با اندکی تغییر (زنعلی‌زاده و همکاران، ۲۰۱۸)



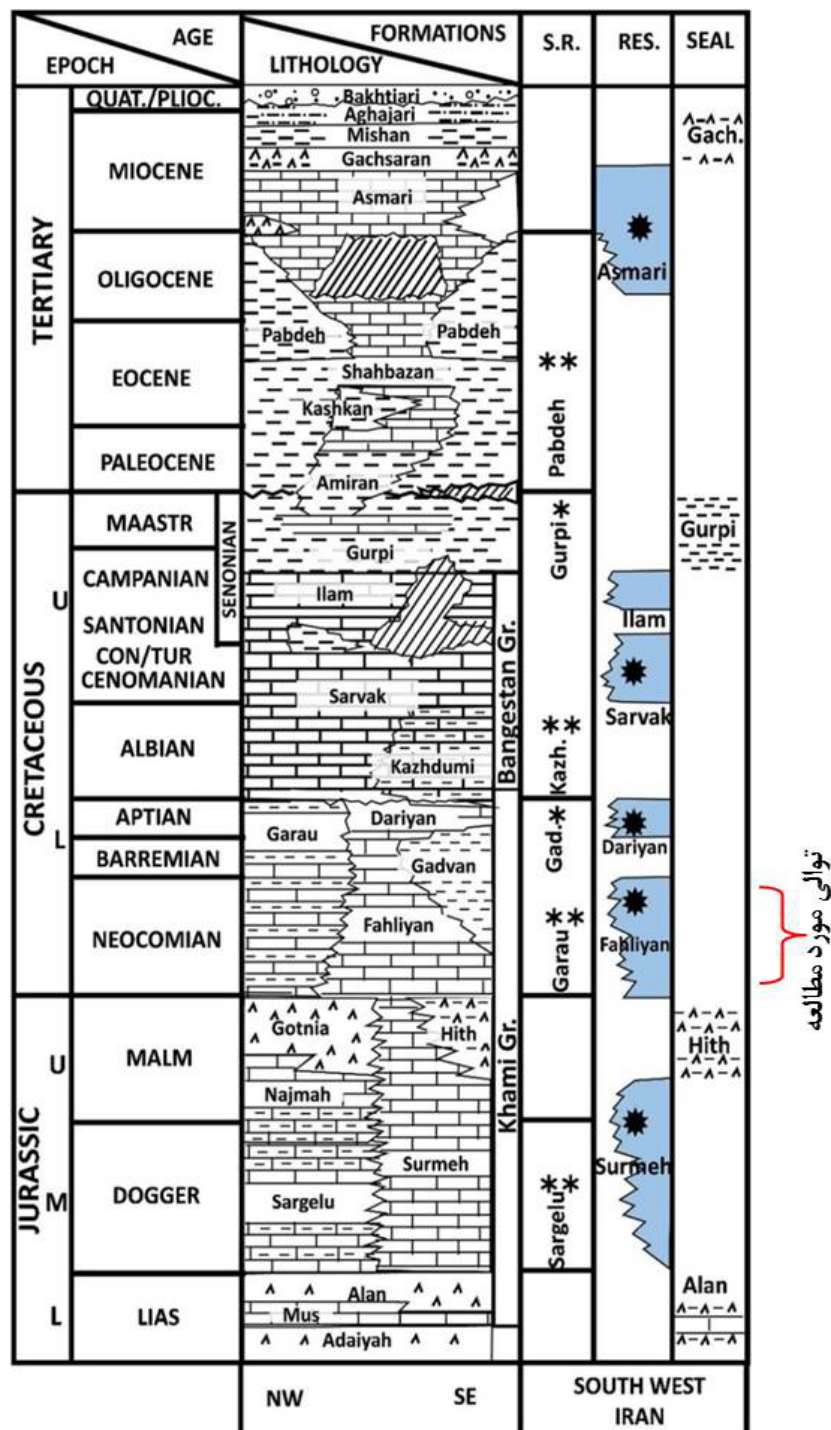
نمودار ۱. فراوانی رساره‌های رسوبی مربوط به زیرمحیط‌های مختلف در بخش مخزنی سازند فهیان در میدان ارونده

برخوردار نیست (شکل ۳-D و E). این گروه از رساره‌ها، معادل رساره‌های سدی (فلوگل، ۲۰۱۰) می‌باشد. ریزرسارهای زیرمحیط دریای باز شامل رساره‌های پکستون و قطعات بایوکلست است. این

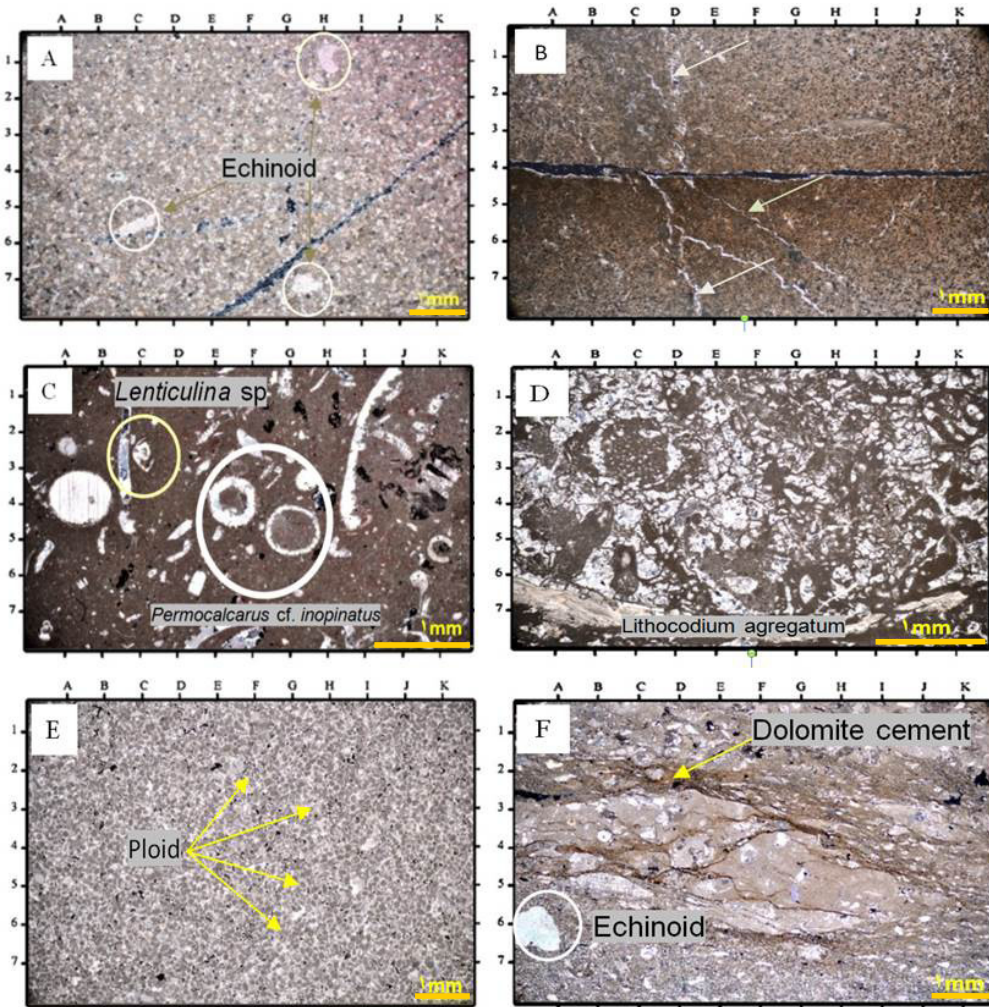
گروه رسارهای زیرمحیط سد شامل گرینستون اینتراکلستی پلوییددار و اووییددار، پکستون، باندستون و پکستون بایوکلستی با خردشگی زیاد و بافت‌های پکستون گرینستونی می‌باشد که از وسعت چندانی

رخساره‌های رمپ کربناته که بیانگر شیب ملایم محیط رسوبی در هنگام رسوب‌گذاری می‌باشند، مدل رسوب‌گذاری سازند فهلیان یک پلاتفرم رمپ کربناته، تعیین گردیده است (شکل ۴).

ریزرساره از اینتراکلست، و بایوکلست در خمیره‌ای از میکرایت تشکیل شده است. خرده‌های بایوکلستی در بردارنده خرده‌های خارپوست، روزنباران، دوکفه‌ای و جلبک‌های آهکی است (شکل ۳-*F*). با توجه به حضور



شکل ۲. ستون سنگچینه‌نگاری منطقه مورد مطالعه در جنوب‌باختری ایران بدون مقیاس. سنگ‌های منشا به شکل دو ستاره و سنگ مخزن به وسیله یک ستاره مشخص شده است (ربانی و همکاران، ۲۰۱۷).

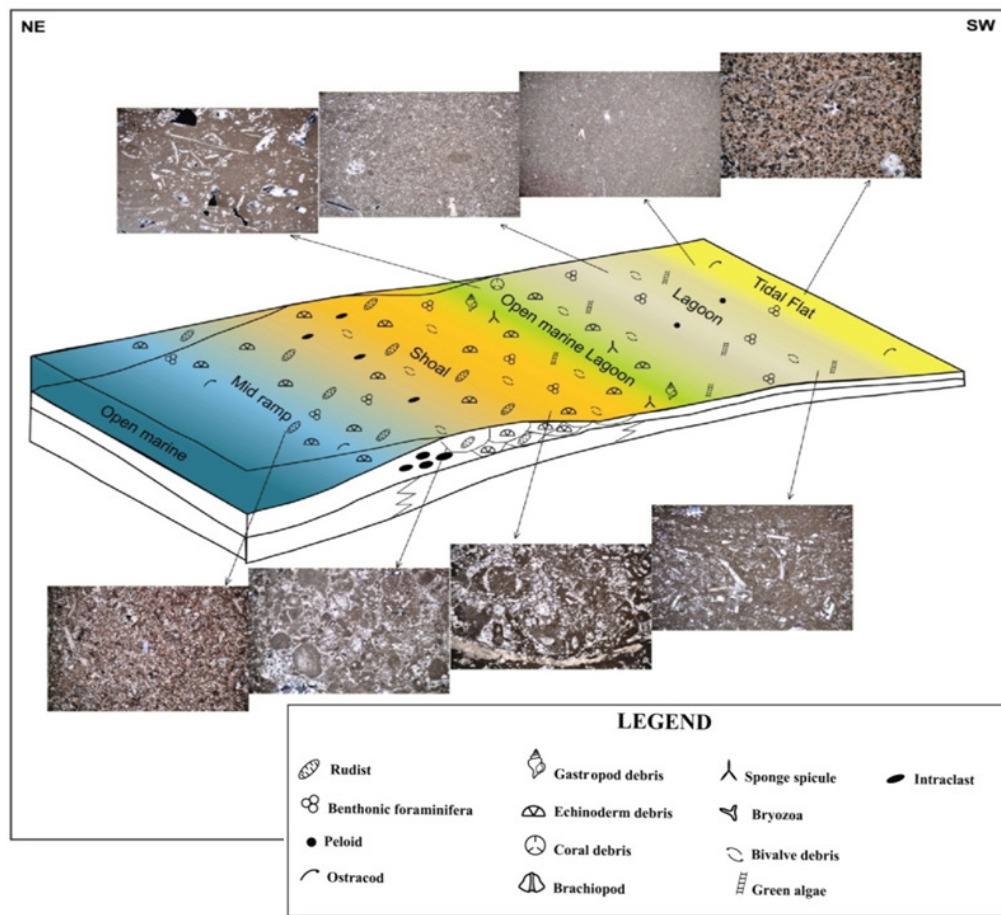


شکل ۳. تصاویر میکروسکوپی از رخساره‌های رسوبی بخش مخزنی سازند فهلیان در میدان ارونده. A- دولوستون در یک رخساره گلی، B- کلسیت با رخساره پکستون تا وکستون با یوکلسیتی، C- کلسیت با ریزرخساره وکستون تا پکستون جلبگدار در محیط رسوبی لاغون، D- ریزرخساره گرینستون اسکلتی در محیط رسوبی سد، E- ریزرخساره گرینستون پلوییدی در محیط رسوبی سد، F- ریزرخساره پکستون با محیط رسوبی رمپ کربناته

قارچ‌ها و جلبک‌ها بر سطح آلوکم‌ها رخ می‌دهد (السای و جردن، ۲۰۰۷). پوشش‌های میکرایتی، در حفظ شکل دانه، پس از انحلال بخش داخلی آن‌ها در طی دیاژنز جوی، اهمیت دارد (باچست، ۱۹۷۵). فرآیند میکرایتی شدن، شاخص محیط‌های رسوبی کم انرژی و آب‌های کم عمق محدود شده زیر پهنه جزوی است و به طور گسترده در این محیط‌ها دیده می‌شود (ویلسون، ۲۰۰۲). در اثر فرآیند پوشش میکرایتی در ناحیه مورد مطالعه، حاشیه دانه‌های اسکلتی به طور مداوم توسط موجودات میکروسکوپی سوراخ شده و سپس توسط رسوبات دانه‌ریز با سیمان پر می‌شوند (شکل ۴-۵).

۴-۲-۵- فرایندهای دیاژنزی
از مهم‌ترین فرایندهای دیاژنزی در چاه ارونده-۲ می‌توان به میکرایتی شدن، سیمانی شدن، سیلیسی شدن محدود، دولومیتی شدن، انحلال، شکستگی و رگه‌های پرشده، تراکم (فیزیکی و شیمیایی) و پیریتی شدن اشاره نمود. در ذیل به شرح هر یک از این فرایندها پرداخته می‌شود.

۴-۲-۵-۱- میکرایتی شدن
میکرایتی شدن از نخستین فرایندهای دیاژنزی است که در محیط دریایی و بویژه در محیط‌های دریایی و لاغون اتفاق می‌افتد. این فعالیت با تکرار فعالیت سیانوباکتری‌ها،



شکل ۴. شکل مدل رسوبی (سیستم رمپ) برای سازند فهلیان در میدان اروند

سازند فهلیان تراکم فیزیکی بصورت فشردگی آلوکمها است که منجر به آرایش نزدیکتر آن‌ها می‌شود (شکل ۵-۵). این نوع تراکم به صورت بسیار محدود کرده است. بدینهی است این فرآیند دیاژنزی به علت فشردگی آلوکمها به یکدیگر و کاهش تخلخل باعث کاهش کیفیت مخزنی شده است.

۲-۲-۵- تراکم

تراکم، مجموعه فرایندهایی است که حجم توده‌سنگ‌ها را کاهش می‌دهد (فلوگل، ۲۰۱۰). تراکم رسوبات ناشی از فشار هیدرواستاتیک، لیتواستاتیک و مستقیم که حاصل نیروهای زمین‌ساختی است، می‌باشد (مور، ۲۰۰۱). تراکم به دو نوع فیزیکی و شیمیایی نهشته‌های سازند فهلیان در ناحیه مورد مطالعه را تحت تأثیر قرار داده است. نبود یا کمبود تخلخل اولیه (به ویژه در ابتدای توالی) از دیگر نشانه‌های تراکم در این سازند است. در ادامه به شرح هر یک از آن‌ها پرداخته می‌شود.

۲-۲-۵- تراکم شیمیایی

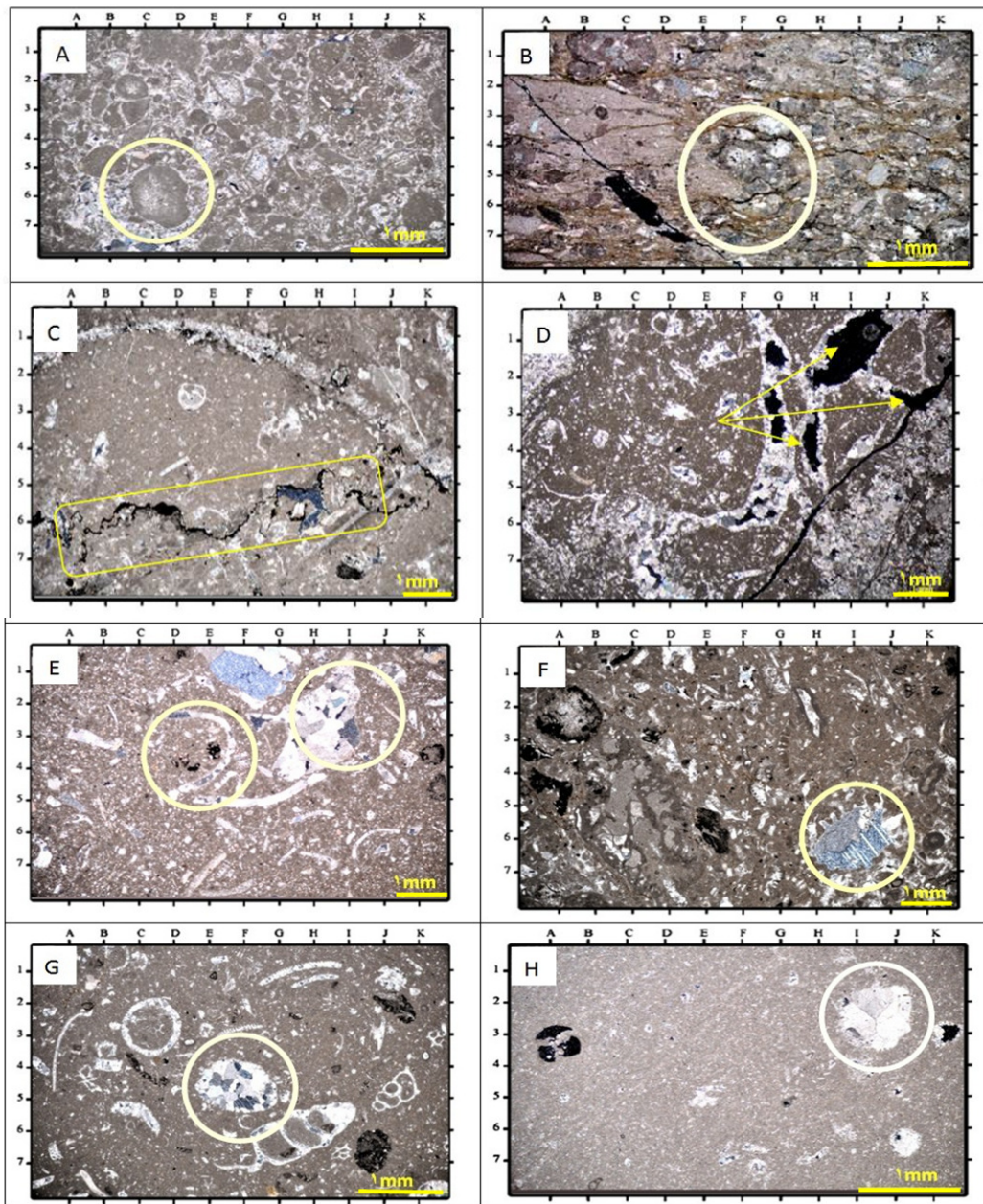
تراکم شیمیایی به دنبال افزایش عمق تدفین رخ می‌دهد (ماچل، ۲۰۰۵). این فرایند منجر به تشکیل استیلولیت‌ها، رگچه‌های انحلالی و سطوح مضرس در محل تماس بین دانه‌ها (انحلال فشارشی) شده است (شکل C-۵). استیلولیت‌ها در صورت ایجاد می‌توانند به عنوان یک سد (seal) در برابر تراوایی بوده و مانع مهاجرت سیال شوند مگر اینکه در اثر تراکم، شکسته شوند. رگچه انحلالی برخلاف استیلولیت‌ها که کل بافت سنگ را قطع

۲-۲-۵- تراکم فیزیکی

تراکم فیزیکی مهم‌ترین فرایندهایی است که سبب آرایش متراکم‌تر دانه‌ها و شکسته شدن بایوکلست‌ها، تراکم و خمیدگی آلوکمها می‌شود (فلوگل، ۲۰۱۰) و تأثیر منفی بر کیفیت مخزن دارد (عظیمی و همکاران، ۱۳۹۰). در

می‌کند. این تخلخل دارای جهت‌یابی بوده و به موازات سطح لایه‌بندی مشاهده می‌شود (لامسی و همکاران، ۱۳۸۵).

می‌کنند، از اطراف دانه‌ها عبور می‌کنند. فرایند استیلولیتی شدن که در توالی مورد پژوهش در امتداد رگچه‌های فشاری-انحلالی گسترش یافته است، به عنوان مسیرهای مهاجرت سیالات (آب و هیدروکربن) عمل



شکل ۵. فرایندهای دیاژنزی در سنگ مخزن سازند فهلیان، چاه آرون-۲، A- سنگ آهک گرینستون با قطعات بزرگ فرامینیفر بتیک و پلوویدها همراه با فرایندهای کلسیت و بیکریتی شدن، B- سنگ آهک با ریزخساره پکستون تا گرینستون پلوویدی اسکلتی همراه با پیدا شدن نئومورفیسم و تراکم فیزیکی با تخلخل حفره‌ای دارای شکستگی‌های باز، C- وکستون تا پکستون اسکلتی با قطعات گاستروپدا و دوکفه‌ای، با تخلخل استیلولیتی و کلسیت شدگی و نئومورفیسم و شکستگی‌های پر شده، D- سنگ آهک وکستون تا پکستون اسکلتی با قطعات گاستروپد، اکینویید، جلبک و میلیویله‌آ همراه با پیدا شده‌های انحلال، کلسیت شدگی، درزه و نئومورفیسم، E- آهک دولومیتی با ریزخساره وکستون تا پکستون پلوویدی اسکلتی، سیمانی شدن آلومک‌ها و سیمان بلوكی و توسعه دولومیت، بدون تخلخل و تشکیل شده در محیط رسوبی لagon، F- سیمان سن تکسیال در سنگ آهک وکستون تا پکستون اسکلتی و کلسیتی شدن آلومک‌ها، G- کلسیت با ریزخساره پکستون تا وکستون با یوکلسیتی با سیمان دروزی، H- سیمان بلوكی و انحلال دانه‌ها در سنگ آهک با ریزخساره وکستون تا پکستون پلوویدی اسکلتی.

(شکل A-۶). کلسیت جایگزین شده در بسیاری از نمونه‌ها، یک نوع سیمان قالبی را نشان می‌دهد.

۵-۶-۲-۵- نوریختی (نئومورفیسم)

این فرایند در توالی مورد مطالعه، به صورت کلسیتی شدن با یوکلست‌های آراغونیتی و با خروج منیزیم در طی تبلور دوباره میکرایت به وجود می‌آید (شکل B-۶) و تبدیل کلسیت‌های ریز بلور به درشت بلور (فلوگل، ۲۰۱۰). مشاهده می‌شود. این فرآیند در اکثر خساره‌های دارای گل‌آهکی (خرساره‌های تالاب) گسترش دارد (محسنی و همکاران، ۱۳۹۴).

۵-۶-۲-۶- دولومیتی شدن

دولومیتی شدن در سازند، همراه پدیده استیلویلت و درزهای انحلالی مشاهده شده است. دولومیت‌ها تحت شرایط و موقعیت‌های فیزیکوشیمیایی مختلفی تشکیل می‌شوند (وارن، ۲۰۰۰). اگر چه بیشترین حجم دولومیت‌های موجود در سازند فهليان به صورت جانشینی اجزای سنگ کربناته اولیه اعم از آلوکمها و ماتریکس می‌باشد با این حال مواردی از تشکیل سیمان دولومیتی هم در این سازند مشاهده می‌شود و شامل دولومیت دانه‌شکری (شکل C-۶ و D) و دولومیت شکل دار منظم تا دولومیت نیمه منظم (شکل F-۶ و E) دیده می‌شود. برای مثال در نمونه‌های آهکی دانه‌افزون مثل گرینستون و پکستون، سیمان دولومیتی فضای بین آلوکمها را اشغال کرده است.

۵-۶-۲-۷- شکستگی‌ها و رگه‌های پر شده

در ناحیه مورد مطالعه، این شکستگی‌ها بیشتر به وسیله بلورهای دولومیتی پر شده‌اند، در برخی موارد نیز، شکستگی‌ها به صورت پر نشده باقی مانده و سبب ایجاد تخلخل ثانویه (تخلخل حاصل از شکستگی) در این سنگ آهک‌ها شده‌اند (شکل G-۶). تشکیل دولومیت‌ها در شکستگی‌های موجود در این بخش نشان می‌دهد که احتمالاً این فرآیند در نتیجه گسترش شکستگی‌ها و نفوذ آبهای جوی به داخل رسوبات به وقوع پیوسته است. شکستگی‌ها در ریز خساره‌های دولومادستونی توالی مورد مطالعه مشاهده شده‌اند. در این مطالعه، رگه‌ها و شکستگی‌ها غالباً با سیمان پر شده و از میزان تخلخل و تراوایی کاسته شده است.

۵-۲-۳- انحلال

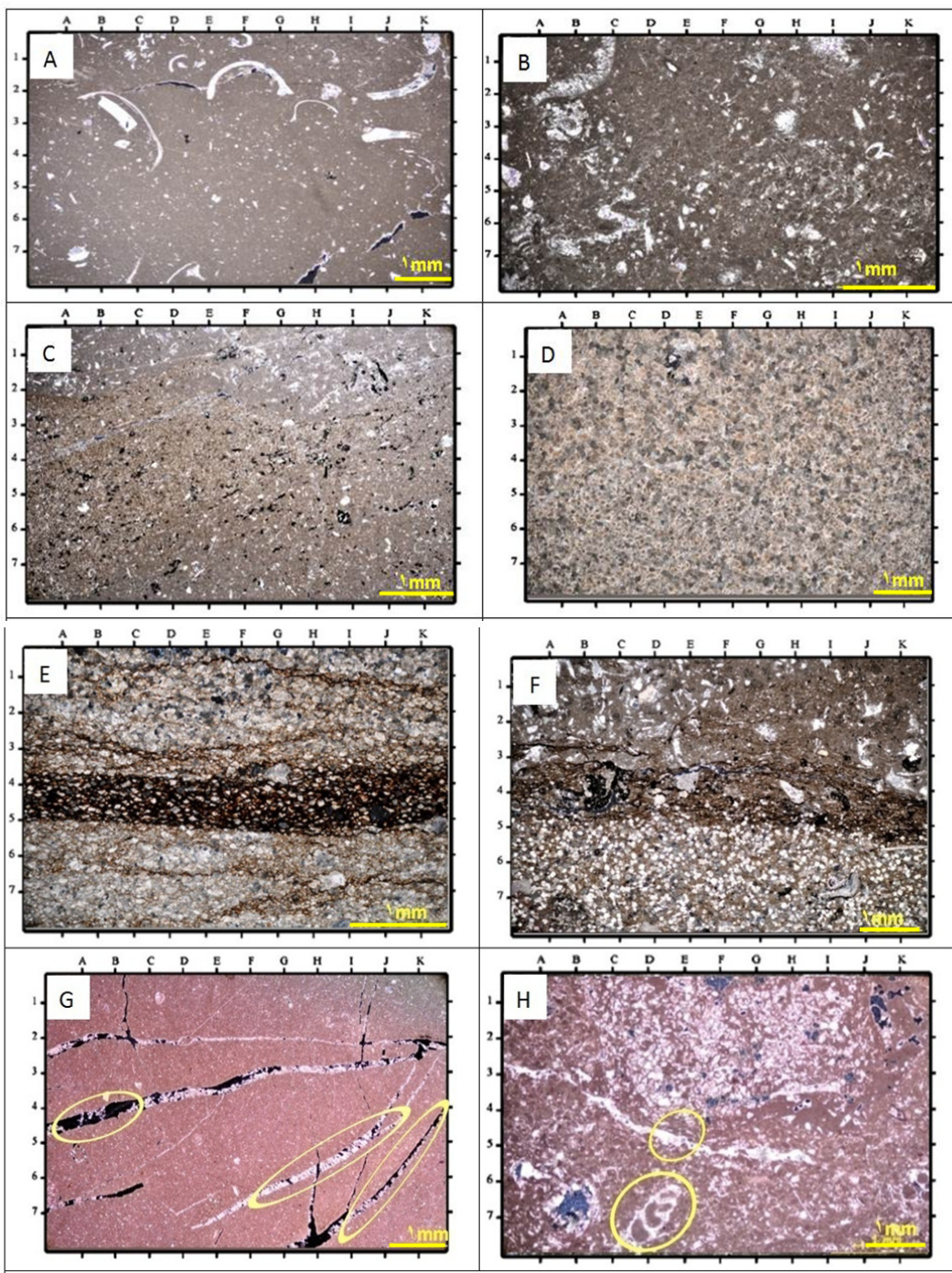
انحلال یکی از فرایندهای مهمی است سبب افزایش تخلخل در مخازن کربناته شده (مرادی و همکاران، ۱۳۹۱) و باعث ایجاد تخلخل‌های قالبی و حفره‌ای می‌شود (لوسیا، ۲۰۰۷). این پدیده می‌تواند در محیط‌های دیاژنزی نزدیک سطح و محیط‌های هوایی و زون مخلوط (لانگمن، ۱۹۸۰) و محیط دیاژنسی تدفینی صورت گیرد. بیشتر تخلخل و نفوذپذیری‌های موجود در آهک‌ها، ثانویه بوده و منشأ آن‌ها از تخلخل اولیه است (خسروتهرانی، ۱۳۸۶). این فرایند دیاژنسی در میدان مورد مطالعه، موجب تخریب دانه‌ها شده و تخلخل موجود در سنگ را افزایش داده است (شکل D-۵).

۵-۲-۴- سیمانی شدن

فرایند سیمانی شدن، یکی از فرایندهای شناسایی شده در میدان مورد مطالعه می‌باشد که سبب کاهش تخلخل و تراوایی گشته و با توجه به رنگ‌آمیزی تعدادی از مقاطع مورد مطالعه، انواع سیمان دروزی، سنتکسیال، ایزوپیک و بلوکی پرکننده حفرات شناسایی شده است. در مطالعه صورت گرفته، حجره‌های روزن‌داران و همچنین درون درزهای شکستگی‌ها توسط این سیمان‌ها، پر شده است. سیمان دروزی در توالی مورد پژوهش به صورت حفرات و حجرات اسکلتی پر شده، در تخلخل‌های قالبی حاصل از انحلال و نیز در طول شکستگی‌ها تشکیل می‌شود (شکل E-۵ و G). از ویژگی‌های این سیمان افزایش اندازه بلور به سمت مرکز حجره است و بیشتر در ارتباط با دیاژنس جوی می‌باشد) (فلوگل، ۲۰۱۰). سیمان سین تکسیال دارای پیوستگی نوری با دانه در برگیرنده قطعات اکینودرم است، شفاف بوده و در محیط دیاژنس جوی و دفنی نهشته می‌شود (فلوگل، ۲۰۱۰). این سیمان در محیط مورد مطالعه بصورت دفنی تشکیل شده است (شکل F-۵). سیمان بلوکی در محیط‌های جوی و دفنی تشکیل می‌شود (فلوگل، ۲۰۱۰). این سیمان برخی از تخلخل‌های حفره‌ای و قالبی و شکستگی‌ها را اشغال کرده است (شکل H-۵).

۵-۲-۵- جایگزینی

کلسیت در بسیاری از نمونه‌ها یا جایگزین شده و یا به دانه‌های اسکلتی و ماتریس سنگ وصل شده است



شکل ۶. فرایندهای دیاژنزی در سنگ مخزن سازند فهلیان، چاه ارونند-۲. -A- سنگ آهک با ریزرساره و کستون تا پکستون اسکلتی انحلال آلوکمها با تخلخل حفره‌ای و جایگزینی سیمان کلسیتی، -B- پدیده نئومورفیسم در سنگ آهک پکستون اسکلتی پلوبییدی، کلسیت شدگی آلوکمها و شکاف‌های باز و حفره‌ای، -C- پدیده دولومیتی شدن در دولومیت آهکی و کستون تا پکستون اسکلتی، -D- دولومیت دانه‌شکری که باعث ایجاد تخلخل بین‌بلوری، -E- دولومیت ثانویه و کستون تا پکستون آنکوبیددار دانه متوسط تا ریز به همراه دانه‌های پیریت در یک رساره گلی، نفت بجای مانده هم دیده می‌شود، -F- سنگ آهک با ریزرساره پکستون تا گرینستون اسکلتی شامل اکینوبید، جلبک و رودبیست، دولومیتی شدن در استیلولیت‌ها و کلسیتی شدن آلوکمها، -G- سنگ آهک با ریزرساره دولومادستون با یوکلسیتی محیط‌رسوبی بالای جزر و مدی شکستگی باز، نیمه پر و پرشده توسعه کلسیت، انحلال در رساره گلی با تخلخل شکستگی و حفره‌ای، -H- دانه‌های پیریت در سنگ آهک داری استیلولیت شکستگی و رگچه‌ها.

اغلب در انواع سنگ‌های ریزدانه به ویژه در سنگ‌آهک دولومیتی رخ داده است (شکل D-۷). تخلخل بین‌دانه‌ای در توالی مورد پژوهش، بیشتر در بین اجزاء آلومین است و در مواردی توسط سیمان پر شده است (شکل F-۷). این نوع تخلخل با توجه به محدود بودن فرایند دولومیتی شدن در رسوبات سازند فهلیان، بسیار کم است اما به دلیل اینکه باعث افزایش تراوایی و کیفیت مخزنی می‌گردد، دارای اهمیت می‌باشد.

۳-۵- توالی پاراژنزی

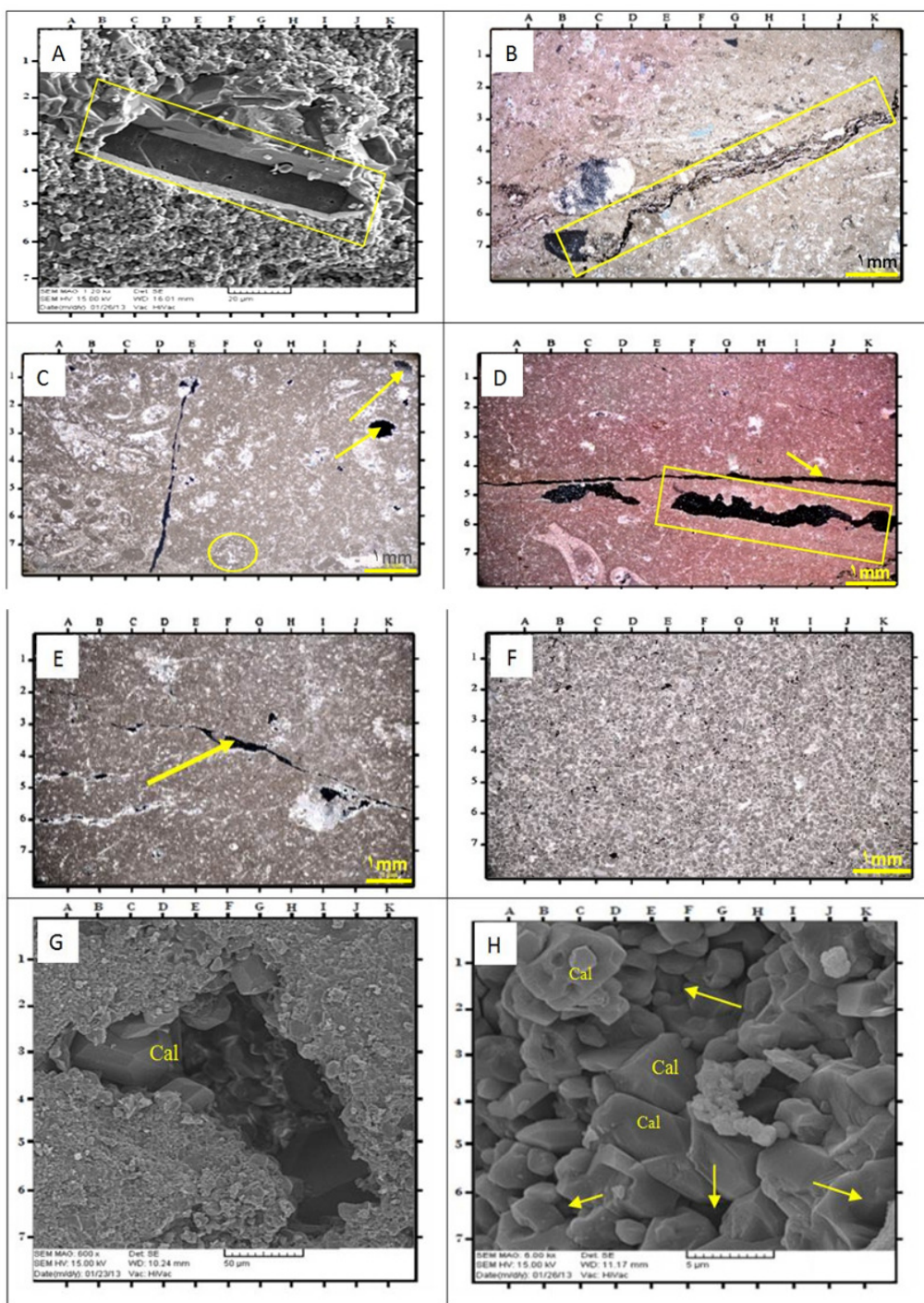
پاراژنز، بیان زمان نسبی وقوع رویدادهای مختلف و در حقیقت بیان تقدم و تأخر آن‌ها است. زمان‌بندی تأثیر فرایندهای دیاژنزی در یک سیستم کربناته به عواملی همچون بافت، ترکیب رسوبات، ماهیت مایع درون منفذ و آب و هوا بستگی دارد (فلوگل، ۲۰۱۰). فرایندهای دیاژنتیکی در سه محیط دریایی، جوی و تدفینی، سازند فهلیان را تحت تأثیر قرار داده است (جدول ۱) که باعث افزایش و یا کاهش کیفیت مخزنی این سازند شده است. در محیط دیاژنتیکی دریایی، در نمونه‌های مورد بررسی از سازند فهلیان در ناحیه مورد مطالعه، فرایندهای دیاژنزی نظیر میکرایتی شدن کامل و ناقص آلومین‌ها توسط جلبک‌ها، باکتری‌ها و قارچ‌ها، آشفتگی زیستی، سیمان سین‌تکسیال باقی‌مانده در اطراف خردنهای اکینودرم و بخش‌هایی از فرایند اتحال (تخلخل بین‌دانه‌ای و درون‌دانه‌ای) در محیط دیاژنتیکی دریایی تشکیل می‌شوند. این شواهد نشان می‌دهند که رسوبات آهکی ناحیه مورد مطالعه در اولین مرحله تحت تأثیر آبهای دریایی قرار گرفته‌اند. این نوع دیاژنز همزمان با رسوب‌گذاری در کف دریا انجام می‌شود. شواهد خروج‌های طولانی مدت در سازند فهلیان وجود ندارد. نوع رخساره‌ها عمدتاً گلی و محیط رسوب‌گذاری عمدتاً تالاب است (شکل E-۵ و F)، بنابراین شواهد کافی برای تفسیر محیط دیاژنتیک جوی وجود ندارد. از شواهد دیاژنز تدفینی در نمونه‌های مورد مطالعه می‌توان به بخشی از فرایند اتحال (تخلخل استیلولیت)، تراکم مکانیکی و شیمیایی (استیلولیت، رگچه‌های اتحالی و اتحال فشارشی در محل تماس دانه‌ها)، دولومیتی شدن، سیمان‌دروزی، سیلیسی شدن، پیریتی شدن اشاره نمود (شکل B-۵ و C).

۴-۲-۵- پیریتی شدن

یکی از فرایندهای دیاژنزی که تمام رخساره‌های این سازند را تحت تأثیر قرار داده است، پیریتی شدن است. پیریت معمولاً از احیای ماده آلی در محیط‌های دریایی عادی کم اکسیژن و آبهای شیرین تشکیل می‌شود (فلوگل، ۲۰۱۰). این پدیده بصورت تجمع بلورهای پیریت در افق‌هایی از سازند فهلیان در توالی مورد مطالعه و در راستای سطوح استیلولیت دیده می‌شود (شکل ۶-۶). از آنجایی که پیریتی شدن بیشتر در استیلولیت‌ها و رگچه‌های اتحالی دیده می‌شود می‌توان چنین استنباط کرد که این پیریت حاصل فرایند دیاژنز تاخیری و دیاژنز تدفینی است.

۴-۲-۶- تخلخل

هدف اصلی در مطالعه این بخش، متمرکز بر روی انواع اصلی تخلخل است که می‌تواند در سازند فهلیان در محدوده مطالعاتی به عنوان مشاهدات ماکروسکوپی و میکروسکوپی از طریق مطالعه پتروگرافی متمرکز شود. فضای خالی ایجاد شده از اتحال دانه‌ها در تخلخل قالبی به طور کامل شباهت به دانه اولیه دارد (واردن و همکاران، ۲۰۰۳). این تخلخل‌ها از آنجایی که هیچگونه ارتباطی با هم ندارند در افزایش کیفیت مخزن نقشی ندارند (شکل A-۷). تخلخل کانالی در نمونه‌های مورد مطالعه، به طور محدود دیده می‌شود و اغلب حاصل اتحال و بزرگ شدن شکستگی‌های قبلی یا در نتیجه اتصال جانبی فضاهای خالی به هم‌دیگر ایجاد می‌شود (شکل B-۷). اجزای اسکلتی یا بصورت محلول حل شده‌اند و یا کم و بیش در فواصل مورد مطالعه به سیمان تبدیل شده‌اند (شکل C-۷ و E). تخلخل حفره‌ای در نمونه‌های مورد مطالعه در نتیجه اتحال بیشتر حفره‌های بین‌دانه‌ای و بزرگ‌تر شدن این حفره‌ها حاصل شده است. اینگونه تخلخل‌ها به صورت حفراتی هم‌بعد، نامنظم و بزرگ در سنگ دیده می‌شود که به طور معمول به فابریک سنگ ارتباطی ندارند و بیشتر در اثر فرایند اتحال فضاهای خالی وابسته به فابریک سنگ ایجاد شده‌اند (فلوگل، ۲۰۱۰). این نوع تخلخل رایج‌ترین و قابل توجه‌ترین و مثبت‌ترین نوع تخلخل در بسیاری از فواصل مطالعه شده است (شکل G-۷ و H). تخلخل شکستگی در برخی فواصل مطالعه، مشاهده شد و به نظر می‌رسد



شکل ۷. تصاویر گرفته شده توسط میکروسکوپ پلاریزان و میکروسکوپ الکترونی از انواع مختلف تخلخل موجود در سنگ مخزن چاه ارون-۲. *A*- تخلخل قالبی در سنگ آهک متراکم توسط میکروسکوپ الکترونی، *B*- تخلخل کانالی در حال دولومیتی شدن در طول اتحال و وجود سیمان سین تکسیال، *C*- تخلخل حفرهای و دروندانهای در سنگ آهک با جلبک فراوان که در آن شکستگی باز اتحال و کلسیتی شدن، *D*- تخلخل حفرهای استروماتاکتیس (کف صاف و سقف نامنظم) در سنگ آهک با شکستگی و فرایند کلسیتی شدن دانه‌ها، *E*- تخلخل حفرهای و شکستگی در سنگ آهک به همراه سیمان شدگی و اتحال و شکستگی‌های باز تا نیمه پر، *F*- تخلخل در سنگ آهک با دانه‌ای پلوید فراوان و سیمان کلسیتی که بین ذرات را اشغال کرده است، *G*- تصویر میکروسکوپ الکترونی از سنگ آهک متخلخل با دانه‌ای پلوید ریز تا متوسط، دارای تخلخل کم و اندازه حفرات بیشتر از ۵۰ میکرون، *H*- تصویر میکروسکوپ الکترونی تخلخل حفرهای و بین دانه‌ای، اندازه حفرات کمتر از ۵ میکرون.

جدول ۱. پاراژنز رویدادهای دیاژنتریکی مؤثر بر سنگ‌های کربناهه سازند فهلیان در میدان اروند

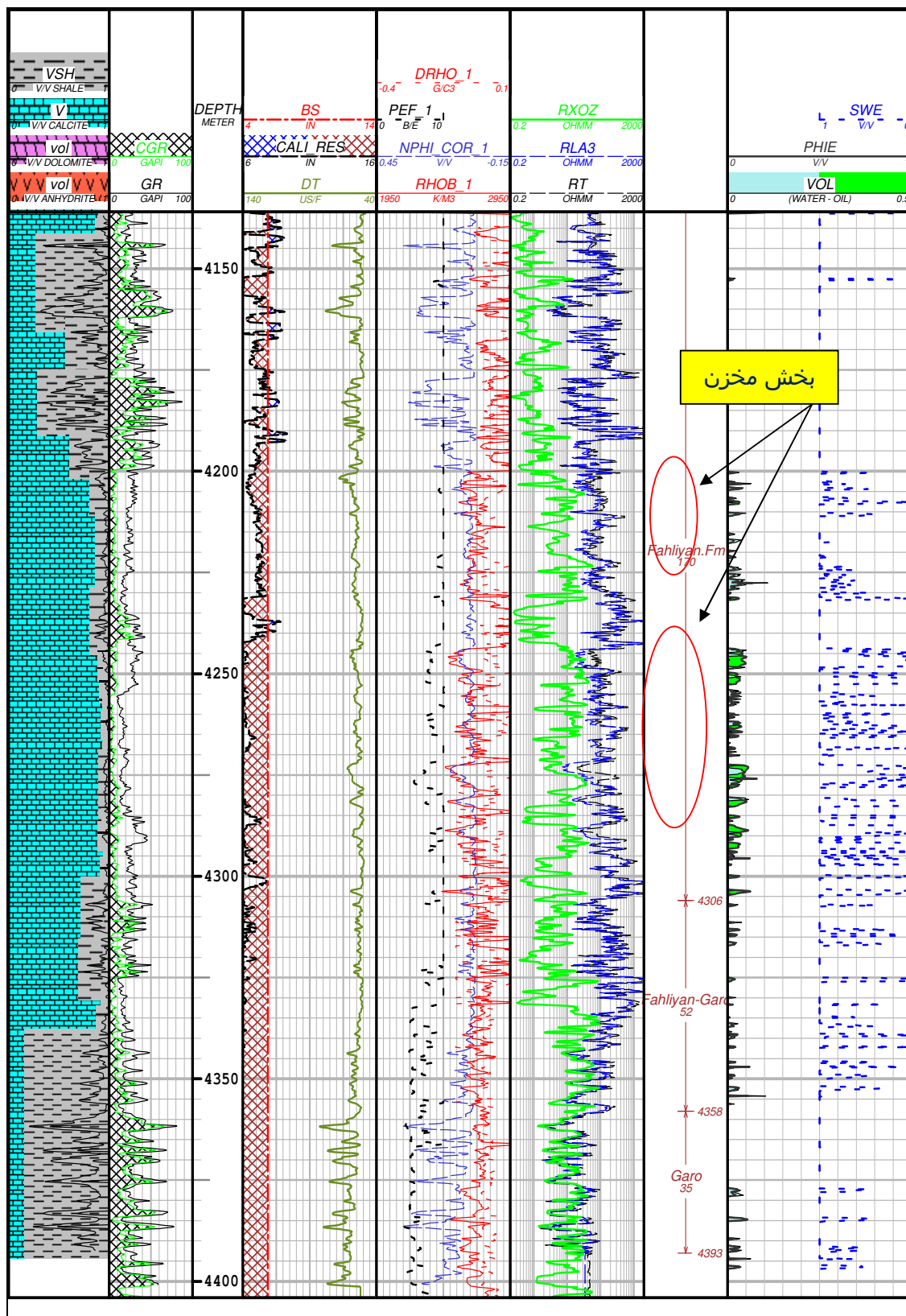
فرایندهای دیاژنتری	محیط دیاژنتری
میکریتی شدن	دیاژنر متوسط
سیمان هم بعد	دیاژنر دریابی
پیریتی شدن	دیاژنر دفنه
نومورفیسم	دیاژنر میکریتی
سیمان سین تکسیال	دیاژنر میکریتی
انحلال	دیاژنر میکریتی
دولومیتی شدن	دیاژنر میکریتی
فسردگی	دیاژنر میکریتی
استیلولیت	دیاژنر میکریتی
سیمان فراگیر	دیاژنر میکریتی
رگجه‌های انحلالی	دیاژنر میکریتی

تراکم مکانیکی که در طی تهنشست و یا پس از آن عمل می‌کند. سیمان با پر کردن فضاهای می‌تواند باعث کاهش تخلخل شود. تخلخل‌های اولیه به صورت بین‌دانه‌ای و درون‌دانه‌ای، اکثراً بر اثر دیاژنر تدفینی و یا سیمان‌شدگی (دولومیتی) از بین رفت‌هاند (شکل B5). فرایند میکرایتی شدن به حفظ شکل دانه‌ها به دنبال انحلال احتمالی آن‌ها در طی دیاژنر جوی کمک می‌کند. شکستگی‌های موجود سازند، به علت فراوانی اندک و پرشدگی اغلب آن‌ها با سیمان‌های مراحل انتهایی دیاژنر به نظر می‌رسد که نتوانسته‌اند تأثیر بسزایی در بهبود کیفیت سنگ مخزن داشته باشند (شکل G6). مخازن گروه خامی سهم ناچیزی در مجموع کل نفت در جای شناخته شده ایران دارند (آقانباتی، ۱۳۹۲).

۵-۵- ارزیابی پتروفیزیکی کیفیت مخزن
مطالعه و تعبیر و تفسیر داده‌های نگاره‌ای چاه‌پیمایی سازند فهلیان، نشان می‌دهد که سازند فهلیان عمدتاً متشكل از رخساره آهکی می‌باشد (شکل ۸). این رخساره آهکی شامل میان لایه‌هایی از رخساره شیلی همراه می‌باشد. همانطور که مقادیر تخلخل محاسبه شده با استفاده از نمودارهای تخلخلی صوتی چگالی نوترون نشان می‌دهد بخش‌های بالایی و میانی سازند فهلیان فاقد پتانسیل هیدرولیکی بوده و عمدتاً متراکم می‌باشد.

پیریت معمولاً در اثر احیای باکتریایی سولفات در محیط دریابی بوجود می‌آید. تامین سولفات از جانب آب دریاست و آهن هم از احیای ذرات آذرآواری فریک تامین می‌شود (گیر و همکاران، ۲۰۰۸). همچنین در بعضی از موارد بویژه جایی که تشکیل دولومیت‌ها در کنار استیلولیت‌ها و رگجهای انحلالی صورت پذیرفته است، آثار بی‌تومن دیده می‌شود که این امر بیانگر عملکرد استیلولیت‌ها بصورت کانال‌های عبوری سیال در این نواحی می‌باشد (شکل E-۶ و F).

۴-۵- تأثیر دیاژنر بر تخلخل و تراوایی
مجموعه شواهد بدست آمده از بررسی سازند فهلیان نشان می‌دهد که عوامل متعددی در افزایش یا کاهش تخلخل نقش دارند و در این میان از مهم‌ترین آن‌ها به فرایندهای دیاژنر باید اشاره کرد. مهم‌ترین ویژگی یک نفت‌گیر داشتن تخلخل و نفوذپذیری است؛ زیرا خلل، شکستگی‌ها و معابر سنگ عامل مؤثر در ذخیره‌سازی مخزن می‌باشد (لوسیا، ۲۰۰۷). عوامل افزایش‌دهنده تخلخل شامل انحلال، دولومیتی شدن است. انحلال مهم‌ترین عامل افزایش تخلخل و تراوایی در توالی مورد مطالعه می‌باشد (شکل D-۵ و ۷) که سبب تشکیل تخلخل‌های انحلالی و قالبی شده است. مهم‌ترین عوامل کاهنده تخلخل در این مطالعه سیمانی شدن، تراکم مکانیکی و شیمیایی است (دهکار و همکاران، ۲۰۱۸).



شکل ۸. نمودار ارزیابی پتروفیزیکی فواصل عمقی رخساره آهکی سازند فهليان در چاه مورد مطالعه با ميان لاييه اي از شيل که دارای دو لايه با پتانسیل مخزنی می‌باشد و مابقی سازند فهليان در میدان ارونده فاقد پتانسیل مخزنی است.

گرفته شده است. در مطالعات ارزیابی پتروفیزیکی بر روی میدان مورد مطالعه مشخص شد که جنس سنگ مخزن سازند فهليان از سنگ‌آهک (کلسیت و دولومیت) و مقادیر کمی شیل می‌باشد. مقدار تخلخل محاسبه شده با استفاده از نمودارهای تخلخلی صوتی چگالی نوترن نشان می‌دهد بخش‌های بالایی و میانی سازند فهليان فاقد پتانسیل هیدروکربوری بوده و عمدتاً متراکم می‌باشد. سازند فهليان بر اساس ارزیابی پتروفیزیکی به دو لایه با پتانسیل مخزنی تقسیم کرد: لایه نخست با ارتفاع ۲۲ متر (عمق ۴۲۰۰ تا ۴۲۲۲ متر)، بیشتر آهک با تخلخل ۳ تا ۵ درصد و اشباع آب ۲۰ تا ۴۰ درصد دارد. سیال موجود آب و نفت بوده که میزان اشباع آب بالا می‌باشد. لایه دوم مخزنی، با ارتفاع ۴۹/۵ متر (عمق ۴۲۹۳/۵ تا ۴۲۴۳ متر)، عمدتاً آهک با تخلخل ۳ تا ۸ درصد و مقادیری شیل (حجم کمتر از ۲ درصد) و اشباع آب ۱۰ تا ۴۰ درصد دارد. نتایج آزمایشات چاه‌پیمایی نشان داد که لایه‌های مخزنی در این فاصله عمقی، دارای آب، نفت و گاز می‌باشد. با توجه به میزان اشباع آب بالا این فاصله عمقی قادر پتانسیل مخزنی است. با توجه به میزان تخلخل، حجم شیل و درصد اشباع محاسبه شده، در سازند مورد مطالعه این فاصله عمقی دارای کیفیت مخزنی نسبتاً مناسبی می‌باشد.

۷- سپاسگزاری

نویسنده‌گان از حوزه پژوهشی دانشگاه آزاد اسلامی واحد زاهدان و معاونت فنی و مطالعات زمین‌شناسی شرکت نفت ارونдан برای فراهم کردن امکانات مالی و معنوی پژوهش حاضر سپاسگزاری می‌کنند. همچنین، از داوران فرهیخته که پیشنهادهای ارزشمند آنان سبب ارتقای سطح علمی مقاله شد سپاسگزاری می‌شود.

منابع

- اسفندياري، م (۱۳۹۲) بررسی محیط‌رسوبی، چينه‌نگاري سکانسي و ديانز سازند فهليان در ميدان نفتی يادآوران، پایان‌نامه کارشناسی ارشد، دانشگاه بوعلي سينا، ۱۳۱ ص.
- آزادشهرکي، ل، رحيم‌پور‌بناب، ح، رنجران، م (۱۳۹۶) محیط‌رسوبی، ديانز و چينه‌نگاري سکانسي سازند فهليان در چاه B ميدان نفتی كيلور‌كريم، نشریه رسوب‌شناسی کاربردی، دوره ۵، شماره ۱۰، ص ۶۴-۸۰.

سازند فهليان را بر اساس خواص پتروفیزیکی (جنس سنگ مخزن، تخلخل، حجم شیل و اشباع آب) و بررسی نمودارها می‌توان به دولایه با پتانسیل مخزنی تقسیم کرد. فاصله عمقی ۴۲۰۰ تا ۴۲۲۲ متر سازند پژوهش، عمدتاً آهک نسبتاً متخلخل با تخلخل ۳ تا ۵ درصد و مقادیری شیل (میزان حجم شیل کمتر از ۵ درصد) و اشباع آب ۲۰ تا ۴۰ درصد دارد. تست‌های مخزنی انجام شده در این فاصله عمقی، نشان داده است که سیال موجود آب، نفت بوده که میزان آب (درصد اشباع آب) بالا می‌باشد. فاصله عمقی ۴۲۹۳/۵ تا ۴۲۴۳ متر سازند فهليان عمدتاً آهک متخلخل با تخلخل ۳ تا ۸ درصد و مقادیری شیل (کمتر از ۲ درصد) و اشباع آب ۱۰ تا ۴۰ درصد دارد. نتایج حاصل از آزمایش چاه در این فاصله عمقی نیز دارای آب، نفت و گاز می‌باشد. با توجه به میزان اشباع آب بالا این فاصله عمقی قادر پتانسیل مخزنی است. با توجه به میزان تخلخل، حجم شیل و درصد اشباع محاسبه شده، در سازند مورد مطالعه این فاصله عمقی دارای کیفیت مخزنی نسبتاً مناسبی می‌باشد.

۶- نتیجه‌گیری

با هدف بررسی فرایندهای دیاژنزی سازند فهليان در میدان اروندا، مقاطع میکروسکپی و داده‌های چاه‌پیمایی به دقت مورد بررسی قرار گرفت. مطالعه برش‌های نازک نشان داد که از نظر کمی، فرایندهای دیاژنزی به ترتیب، سیمانی شدن (کلسیتی)، فشرده‌گی شیمیایی و مکانیکی، دولومیتی شدن، انحلال، شکستگی و پیریتی شدن، از جمله فرایندهایی هستند که مخزن فهليان میدان اروندا را تحت تاثیر قرار داده‌اند. از نظر کیفی بیشتر تخلخل و حفرات ایجاد شده توسط فرایندهای دیاژنزی مانند شکستگی و انحلال همگی بخاطر تاثیر سیالات اشباع از کلسیت پر شده و از بین رفتہ‌اند و برآیند عملکرد این فرایندها به گونه‌ای است که تاثیر مشتبی بر کیفیت مخزنی نداشته است. عملکرد تراکم بیشتر به صورت تراکم شیمیایی مانند استیلویلتها و رگه‌های انحلالی مشاهده شد که در کاهش تخلخل سازندهای مورد مطالعه نقش داشته‌اند. به دلیل پر هزینه بودن عملیات مغذه‌گیری، تنها قسمت‌هایی از سازند که از نظر کیفیت مخزنی مناسب و یا مشکوک به آغشتنگی نفتی بوده، مغذه

- دیاژنتیکی سازند آسماری در یال جنوبی طاقدیس میش، شمال گچساران، فصلنامه زمین‌شناسی ایران، سال ششم، شماره ۲۴، ص ۱۶.
- موسی حرمی، س. ر.، آرین، م.، رحمانی، م (۱۳۹۵) تأثیر دیاژنز بر کیفیت مخزنی سازند داریان در میدان پارس جنوبی، مجله علومزمین، شماره ۱۰، ص ۱۶۵-۱۷۸.
- نوری، ح.، رحیمپوریناب، ح.، زمانی‌نژاد، ا. (۱۳۹۷) کنترل محیطرسوبی و فرایندهای دیاژنزی بر ویژگی‌های پتروفیزیکی سازند فهلیان، ماهنامه علمی- ترویجی اکتشاف و تولید نفت و گاز، شماره ۱۵.
- Adabi, M. H., Salehi, M. A., & Ghabeishavi, A (2010) Depositional environment, sequence stratigraphy and geochemistry of Lower Cretaceous carbonates (Fahliyan Formation), south-west Iran. *Journal of Asian Earth Sciences*, 39: 148-160.
- Dehkar, A., et al (2018) Microfacies analysis and depositional environment of the Fahliyan Formation (Lower Cretaceous), Abadan plain, West South of Iran (Arvand-field) *GEOSCIENCES*. 106: 45-52.
- Bathurst, R. G. C (1975) Carbonate sediments and their Diagenesis with increasing importance further along.: Amsterdam, Elsevier Scientific Publishing Company, 658 p: See p. 459-473.
- Choquette, P. W. and L. C. Pray (1970) Geologic nomenclature and classification of porosity in sedimentary carbonates: *AAPG Bull.* 54: 207-250.
- Coleman M., Raiswell R (1995) Source of carbonate and origin of zonation carbonate concretions in dynamic pyritiferous: evaluation of a model. *American Journal of Science*, 295: 282-308.
- El-saiy, A. K. & Jordan, B. R (2007) Diagenetic aspects of Tertiary carbonates west of the northern Oman mountains, United Arab Emirates, *Journal of Asian Earth Sciences*, 31: 43-53.
- Golestaneh, A (1965) Micropaleontology study of Khami Group and the Jurassic-Cretaceous in Fars Province (southern Iran). *Bulletin de Bureau de Recherches Géologiques et Minières*, 3: 165-179.
- Kamali, M. R., Abolghasemi, A., Bagheri, R., & Kadkhodai, A (2013) Petroleum geochemistry and oil-oil correlation of the Fahliyan and Surmeh reservoirs in the Garangan and Chilengar oilfields, the Dezful embayment (SW Iran). *Journal of Petroleum Exploration and Production Technology*, 3: 85-92.
- Kheradpir, A (1975) Stratigraphy of Khami Group in southwest Iran. National Iranian Oil Company, No. 1235 (unpublished).
- Kobraei, M., Rabbani, A R, Taati, F (2017) Source rock characteristics of the Early Cretaceous آفتابی، س. ع (۱۳۹۲) زمین‌شناسی ایران و کشورهای هم‌جوار، انتشارات سازمان زمین‌شناسی و اکتشافات معدنی کشور، ۷۱۰ ص.
- خسروتهرانی، خ (۱۳۸۶) رخسارهای میکروسکوپی (جلد اول)، انتشارات دانشگاه تهران، ۴۹۸ ص.
- ده کار، ع (۱۳۹۷) سنگ‌شناسی رسوبی و دیاژنسی سازند فهلیان با تأکید بر تأثیر کانی‌های رسی بر کیفیت مخزنی در میدان نفتی ارونده، پایان‌نامه دکترا، دانشکده علوم، دانشگاه آزاد زاهدان.
- رحیمپوریناب، ح.، سلمانی، ع.، رنجبران، م.، آل‌علی، م (۱۳۹۷) تاثیر محیطرسوبی و فرایندهای دیاژنسی بر کیفیت مخزنی سازند آسماری در میدان قلعه‌نار، فروافتادگی درفول، دوفصلنامه رسوب‌شناسی کاربردی، دوره ۶، شماره ۱، ص ۳۴-۱۵.
- شلالوند، م.، آدابی، م. ح.، زهدی، ا (۱۳۹۸) سنگنگاری، زمین‌شناسی و دولومیتی شدن سازند تله‌زنگ (پالیوسن پسین-ائوسن پیشین) در جنوب و جنوب باختر کرمانشاه، دوفصلنامه رسوب‌شناسی کاربردی، دوره ۷، شماره ۱۳، ص ۱۴۶-۱۴۹.
- فرامرزی، س.، رحیمپوریناب، ح.، رنجبران، م (۱۳۹۷) بررسی توزیع واحدهای جریانی سازند سروک در چارچوب چینه‌نگاری سکانسی، مطالعه موردي در یکی از میدان‌نفتی ناحیه دشت آبادان، جنوب‌غرب ایران، دوفصلنامه رسوب‌شناسی کاربردی، دوره ۶، شماره ۱۲ تا ۳۹.
- فیض‌نیا، س.، فهیمی، ع.، یاوری، م (۱۳۸۹) بررسی محیط رسوبی و چینه‌نگاری سکانسی سازند فهلیان در میدان‌های نفتی اهواز و آب‌تیمور، پژوهش‌های دانش‌زمین، ص ۷۴-۵۵.
- لامسی، ی.، فضی، م (۱۳۸۵) رخسارهای پلاتفرمی تا دور از پلاتفرم در سازند فهلیان، گواهانی بر پدید آمدن حوضه ژرف بین شلفی در جنوب‌باختر ایران، بیست و پنجمین گردهمایی علومزمین، سازمان زمین‌شناسی و اکتشافات معدنی کشور، ۲۴۲ ص.
- محسنی، ح (۱۳۹۲) ریزرخسارهای بخش بالایی گروه خامی در میدان نفتی اهواز هفتمنی هماشی انجمن زمین‌شناسی ایران، ص ۲۳۴.
- محسنی، ح، اسفندیاری، م.، کاووسی، م. ع (۱۳۹۴) فرآیندهای دیاژنسی و چینه‌نگاری سکانسی سازند فهلیان در میدان نفتی یادآوران (کوشک و حسینیه) در فروافتادگی درفول شمالی، نشریه رخسارهای رسوبی، شماره ۸ (۲)، ص ۲۵۶-۲۵۵.
- مرادی، ف.، صادقی، ع.، امیری‌بختیار، ح.، الله‌کرم‌پور، م (۱۳۹۱) ریزرخسارهای، محیطرسوبی و فرایندهای

- dominated succession: the Lower Jurassic Cleveland Ironstone Formation, eastern England. *Sedimentary Geology*, 131: 77-86.
- Tucker, M. E (2001) *Sedimentary Petrology*: Oxford, Blackwell, 262 p.
- Warren, W. J (2000) Dolomite: Occurrence, evolution and economically important association: *Earth Science Review*, 52: 1-18.
- Wilson, J. L (1975) Carbonates facies in geologic history. Springer-Verlag, Berline, 471 pp.
- Wilson, M. E. J. and M. J. Evans (2002) Sedimentology and diagenesis of Tertiary carbonates on the Mangkalihat Peninsula, Borneo: Implication for subsurface reservoir quality: *Marine and Petroleum Geology*, 19: 873-900.
- Worden, R. H. and Burley, S. D (2003) Sandstone diagenesis the evolution of sand to stone, in: Burley, S. D and Worden, R.H, eds, *Sandstone Diagenesis: Recent and Ancient*: reprint series, International Association of Sedimentologists, 4: 3-46.
- Zeinalzadeh, A., Moussavi-Harami, R., Mahboubi, A (2018) Investigation of Hydrocarbon Generation Process for Kazhdumi Source Rock in Kitchen Area of Darquain Oil Field in the Abadan Plain, *Journal of Petroleum Research*, 28(99): 18-21.
- Garau and Gadvan formations in the western Zagros Basin-southwest Iran, *Journal of Petrol Explor Prod Technol*, 7: 1051-1070.
- Flügel, E (2010) *Microfacies of carbonate rocks, analysis interpretation and application*, Springer-Verlage, Berline, Heidelberg, 984 pp.
- G Yucel-Gier et al (2008) Effects of fish farming on nutrients and plankton communities *Aquaculture Research*, 39: 181- 194.
- M., et al (2011) Facies characteristic and paleoenvironmental reconstruction of the Fahliyan Formation, Lower Cretaceous, in the Kuh-e-Siah area, Zagros Basin, southern Iran. *Facies*, 57: 101-122.
- James, G. A. & Wynd, J. G (1965) Stratigraphic nomenclature of Iranian Oil Consortium Agreement Area, American Association of Petroleum Geologists Bulletin, 49 (12): 2182-2245.
- Lucia, F. J (2007) *Carbonate Reservoir Characterization*, 2nd Edition, Springer Publications, p: 336.
- Longman, M. W (1980) Carbonate diagenetic textures from nearsurface diagenetic environments. *American Association of Petroleum Geology Bulletin*, 64: 461-487.
- Rickard, D (1997) Kinetics of pyrite formation by the H₂S oxidation of iron (II) 1250°C: monosulfide in aqueous solutions between 25 and the rate equation. *Geochemical and Cosmochimica Acta*, 61:115-134.
- Machel, H. G (2005) Investigations of burial diagenesis in carbonate hydrocarbon reservoir rocks: *Geoscience Canada*.
- Moore, C. H (2001) *Carbonate Reservoirs; Porosity Evolution and Diagenesis in a Sequence Stratigraphic Framework*, Developments in Sedimentology 55, Elsevier, 444 P.
- Noori, H., Mehrabi, H., Rahimpour-Bonab, H., Faghih, A (2019) Tectono-Sedimentary Controls On Lower Cretaceous Carbonate Platforms Of The Central Zagros, Iran: An Example Of Rift-Basin Carbonate Systems *Marine And Petroleum Geology*, 110: 91-111.
- Sajadian, V. A., Zeinalzadeh, A., Moussavi-Harami, R. and Mahboubi, A (2015) Basin of Petroleum System Modeling of The Cretaceous of Jurassic Source Rocks of The Gas of Oil Reservoirs In Darquain Field, South West Iran, *Journal of Natural Gas Science of Engineering*, 26: 419-426.
- Schmid, S., Worden, R. H. and Fisher, Q. J (2004) Diagenesis and reservoir quality of the Sherwood Sandstone (Triassic), Corrib Field, Slyne Basin, west of Ireland Marin and *Petroleum Geology*, 21: 299-315.
- Taylor, K. G., Macquaker, J. H. S (2000) Early diagenetic pyrite morphology in a mudstone-